

FIG. 1

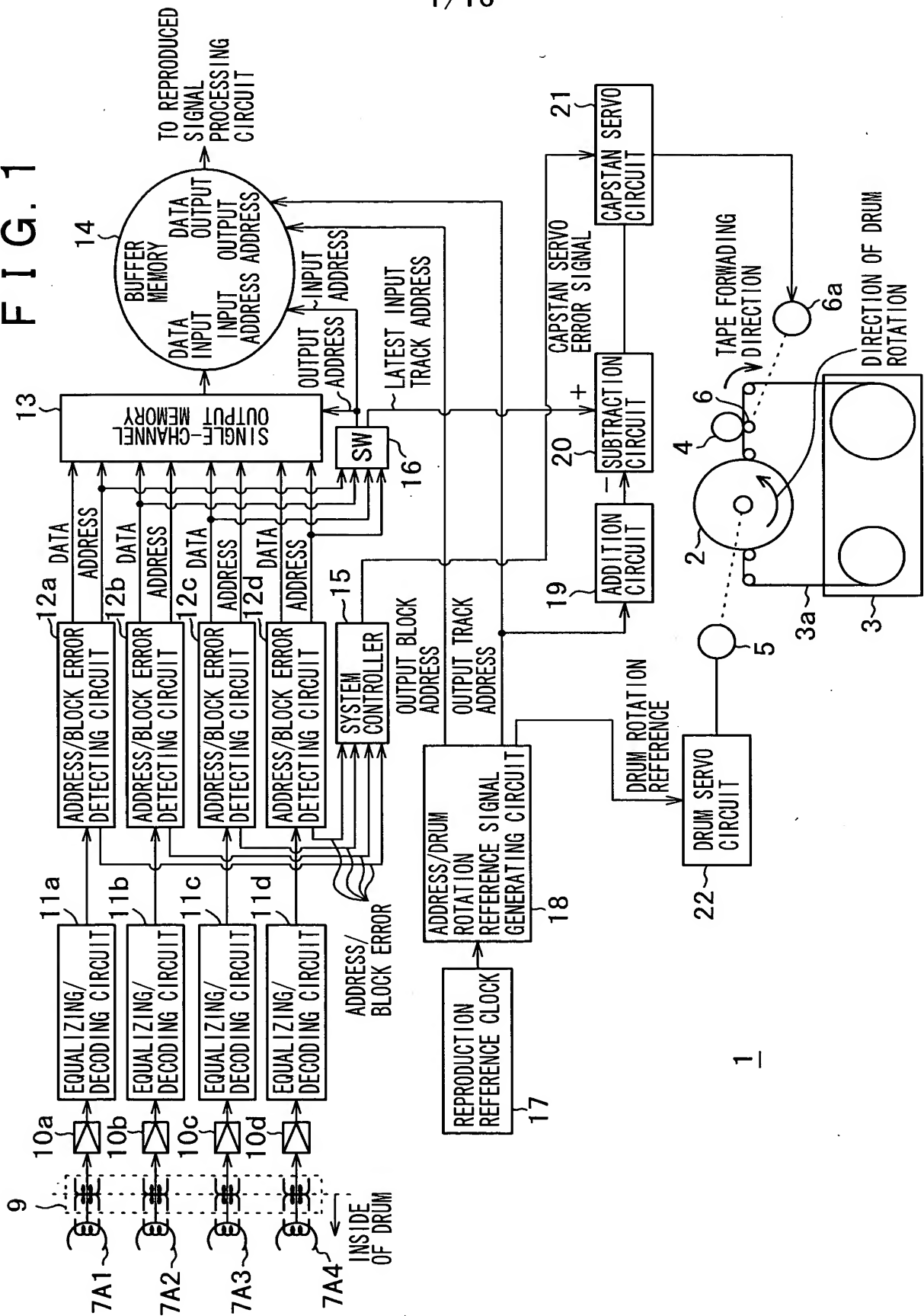


FIG. 2A

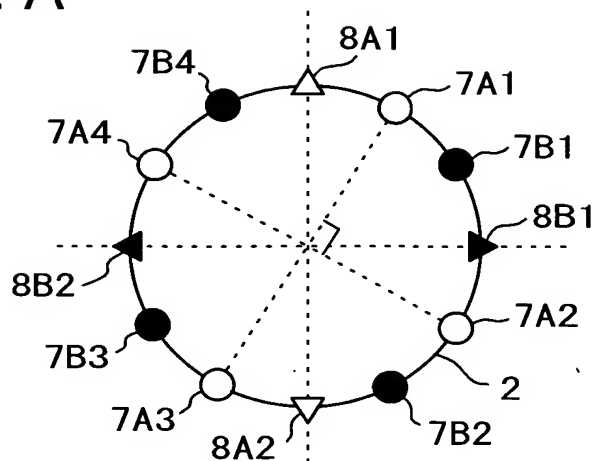


FIG. 2B

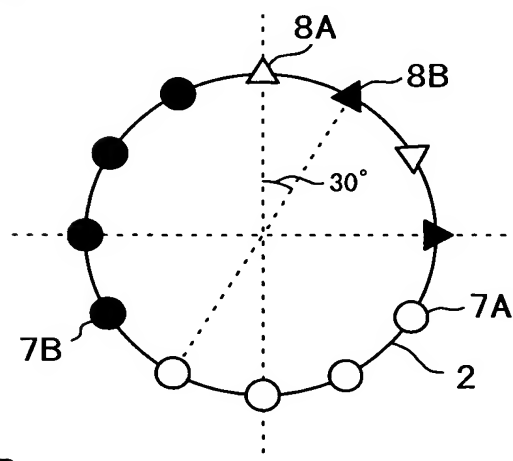


FIG. 2C

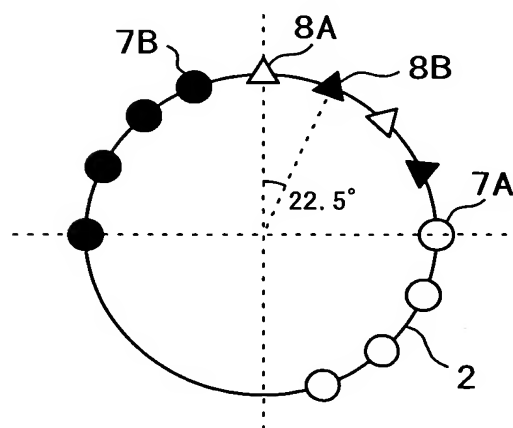


FIG. 3A

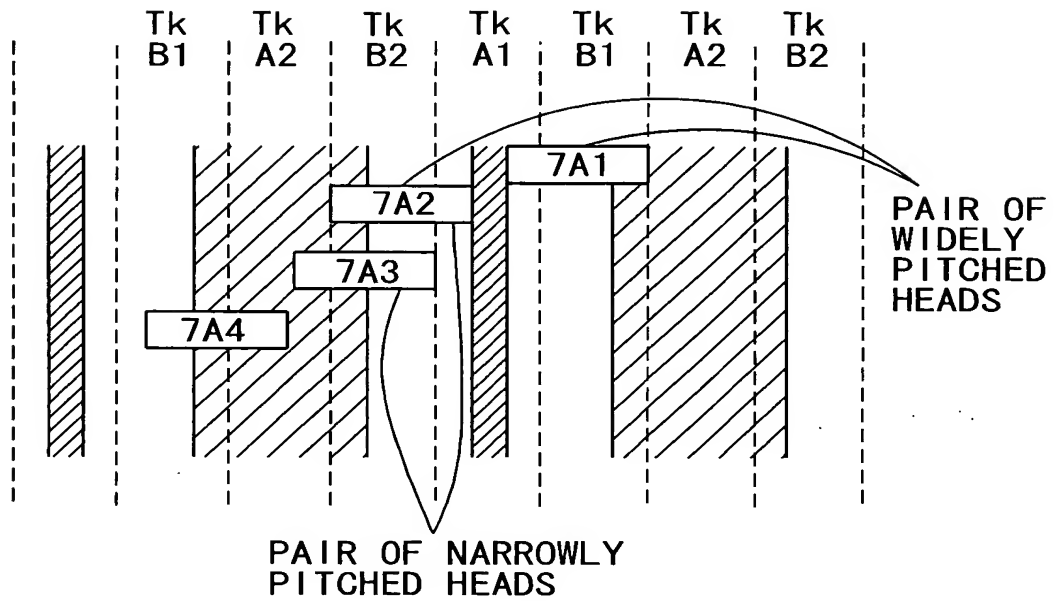


FIG. 3B

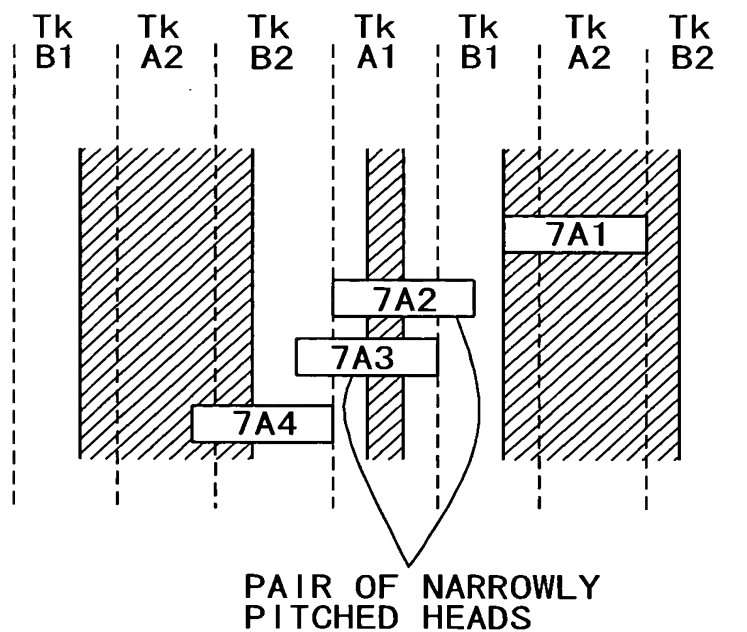


FIG. 4A

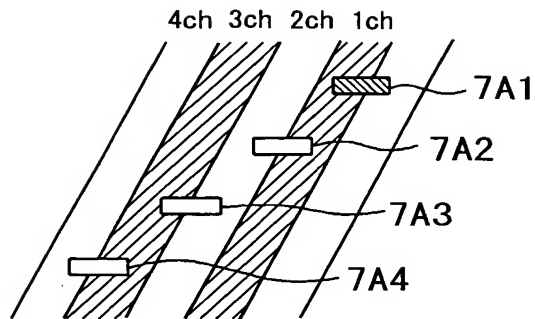


FIG. 4B

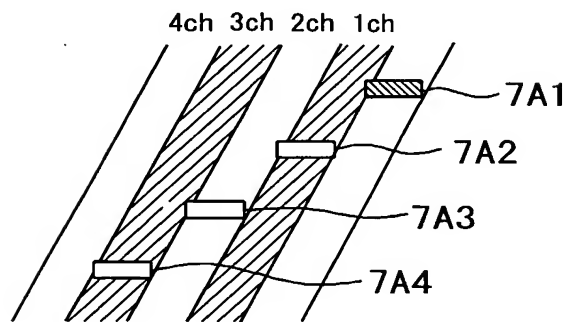


FIG. 4C

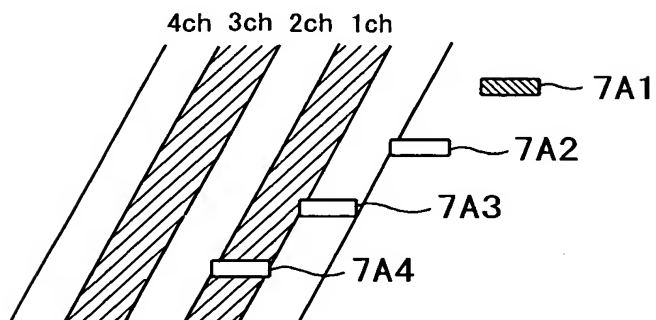


FIG. 5A

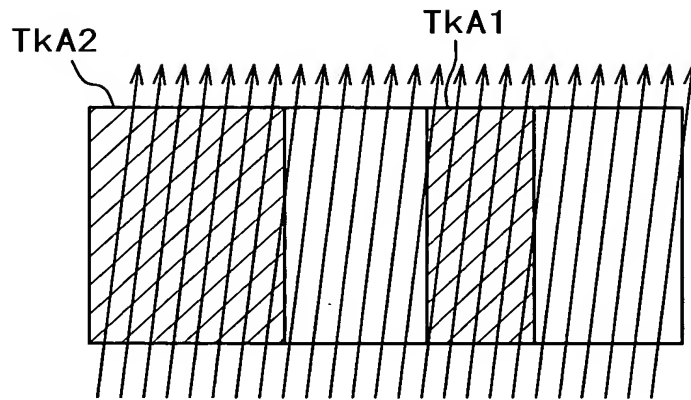


FIG. 5B

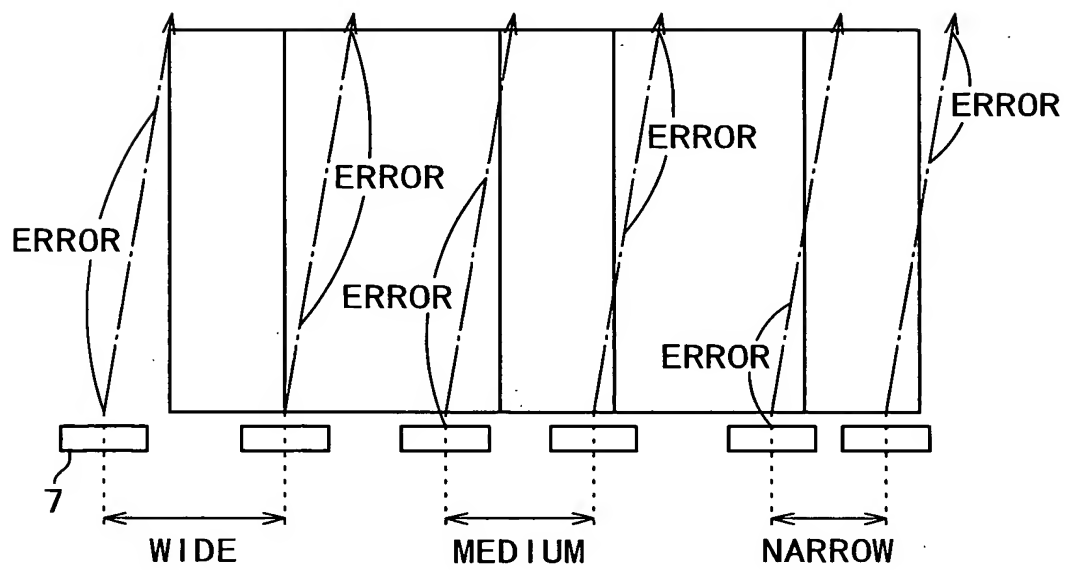


FIG. 6

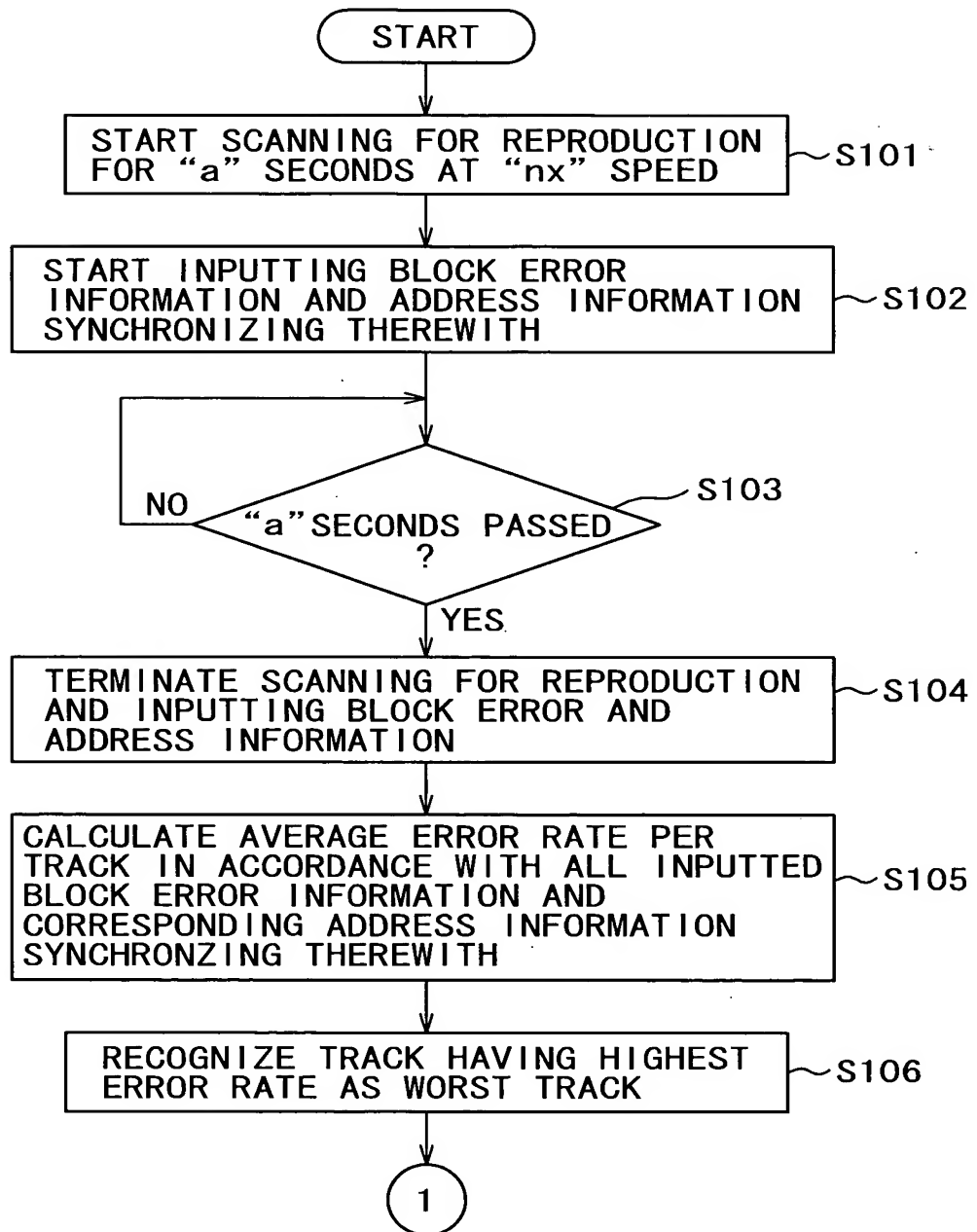


FIG. 7

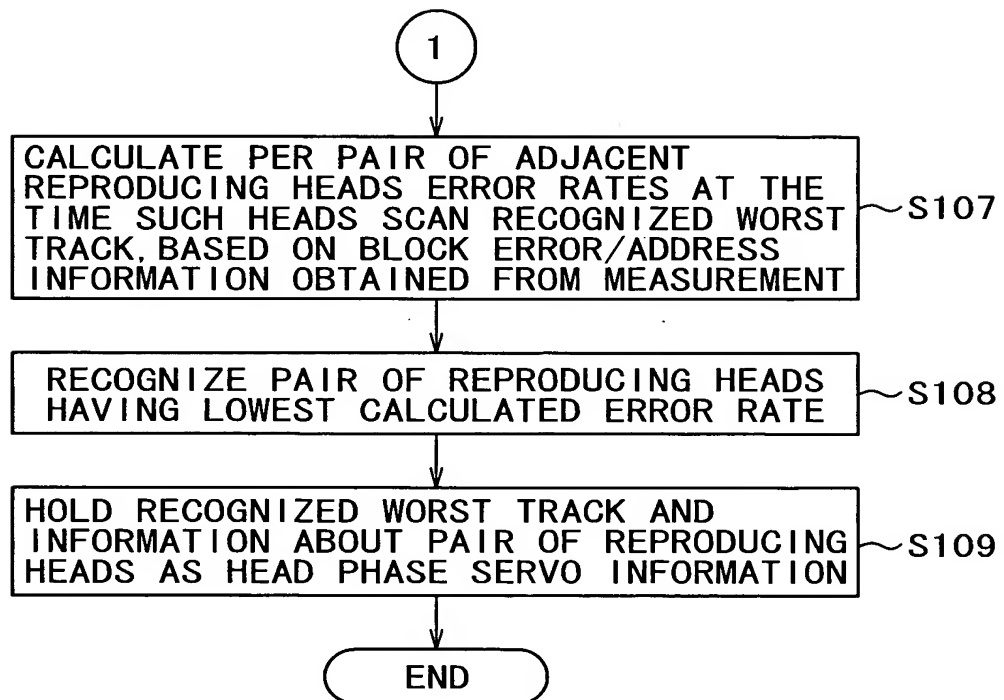


FIG. 8

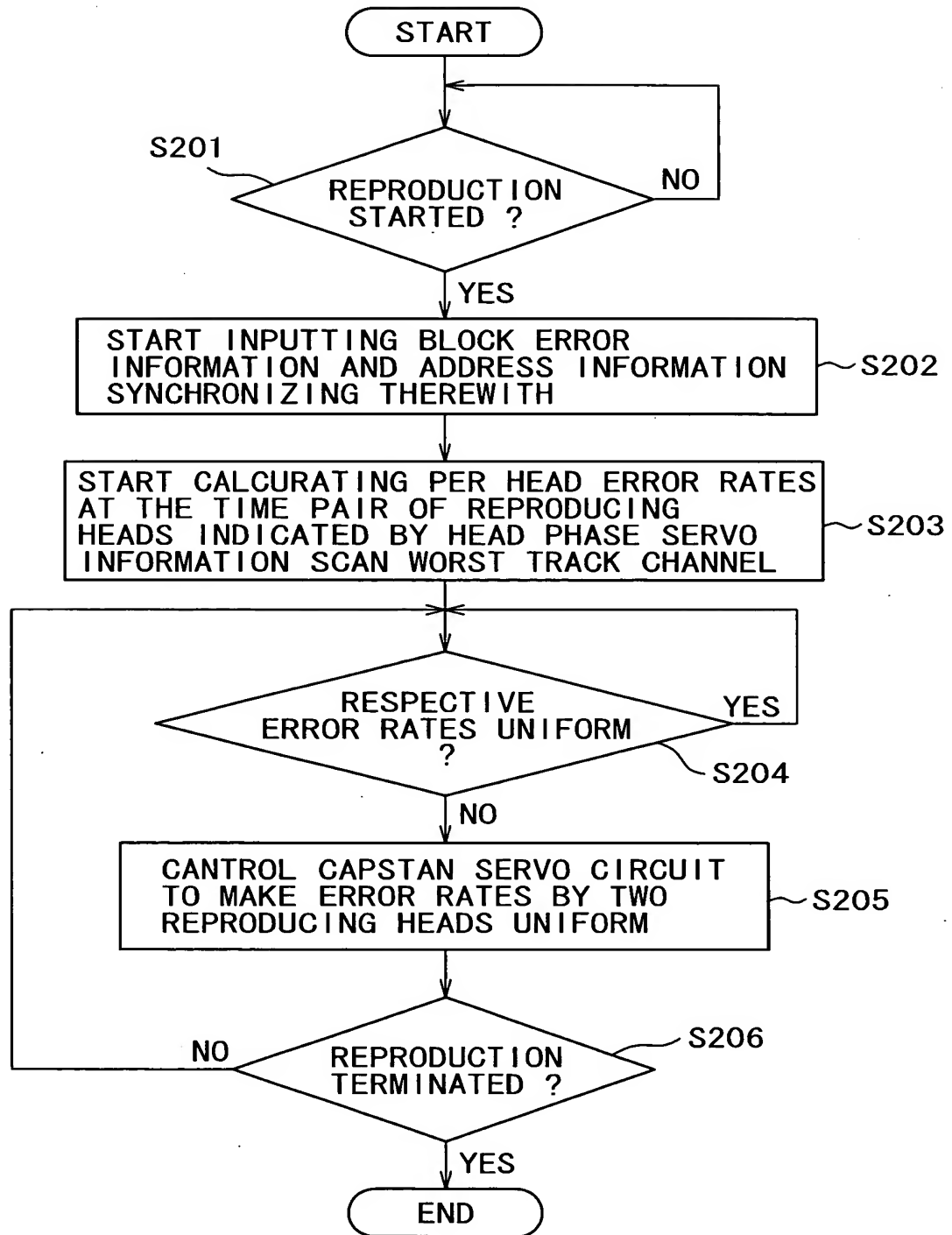


FIG. 9

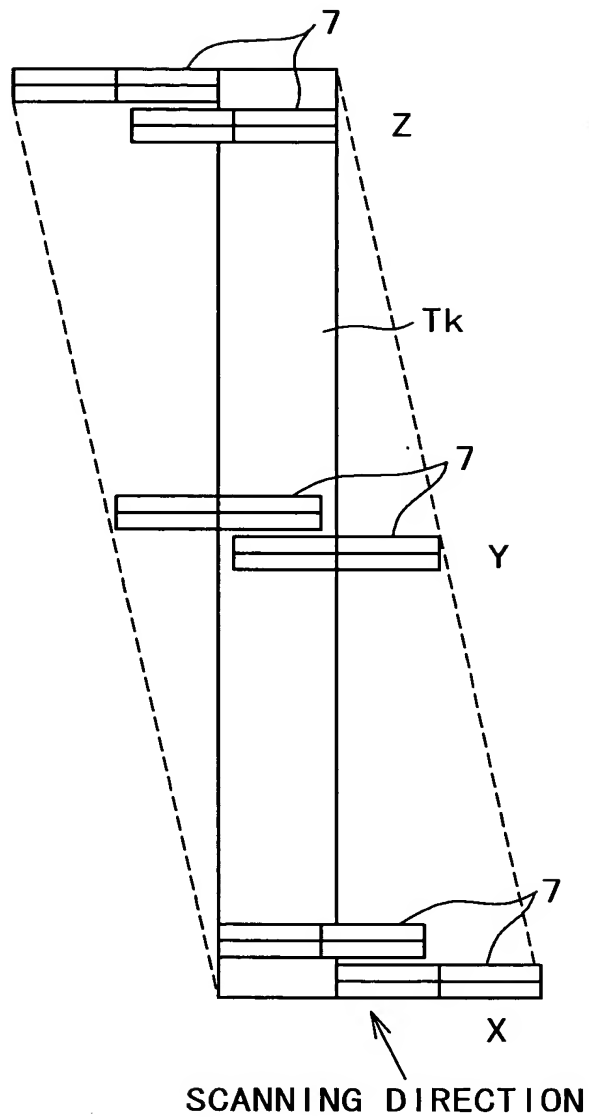


FIG. 10

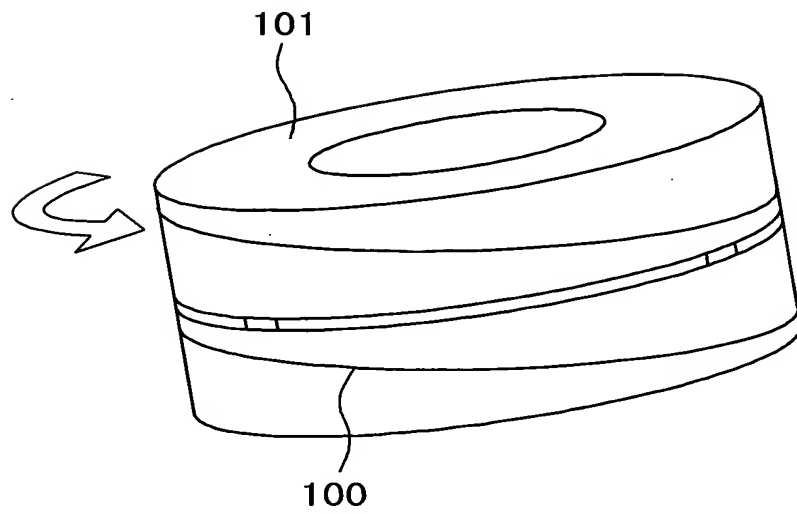


FIG. 11

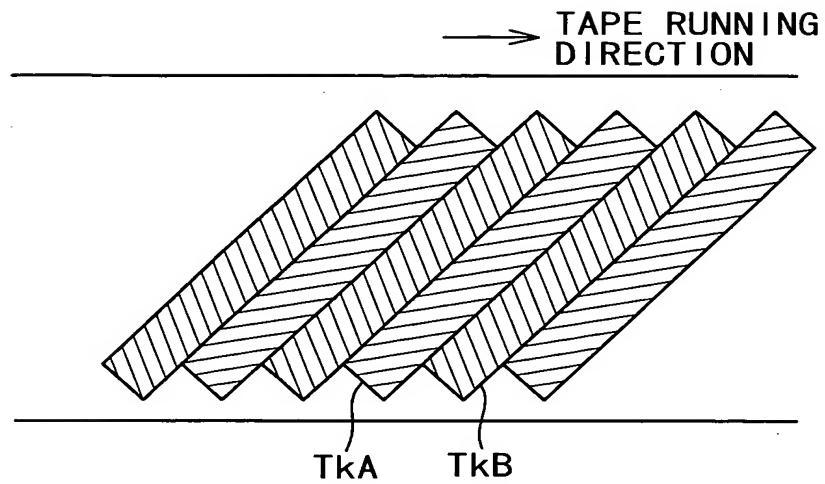


FIG. 12

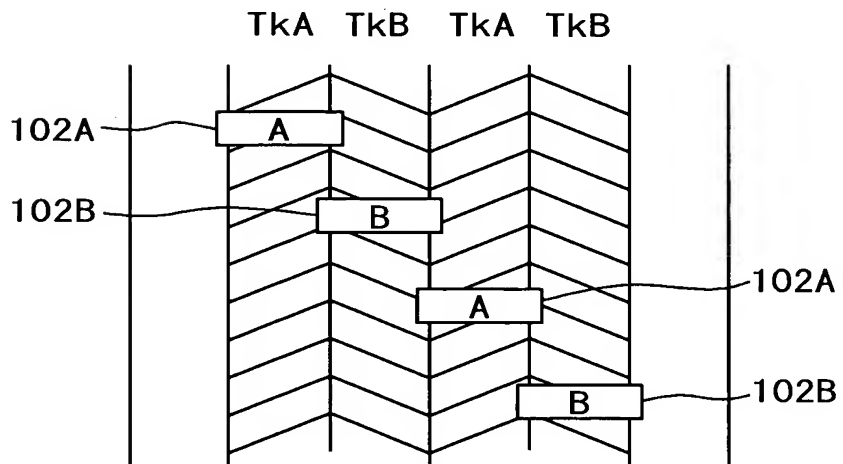


FIG. 13

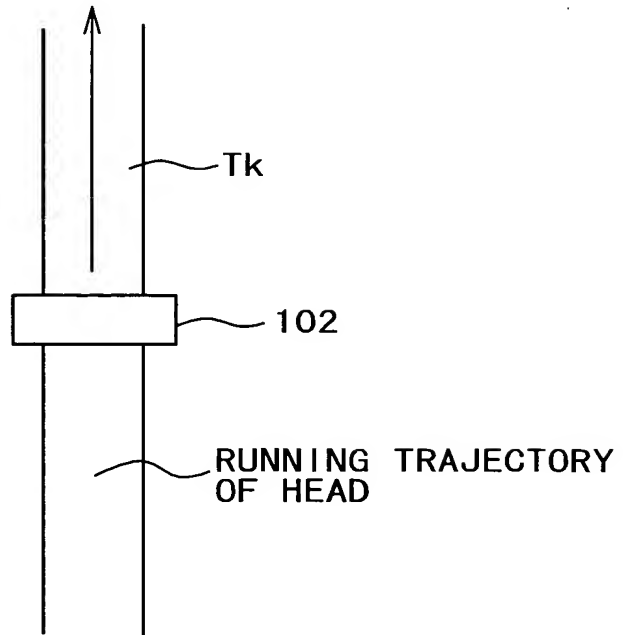


FIG. 14

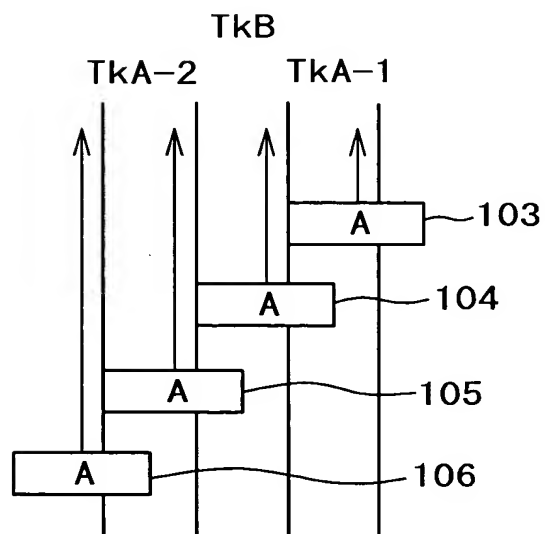


FIG. 15

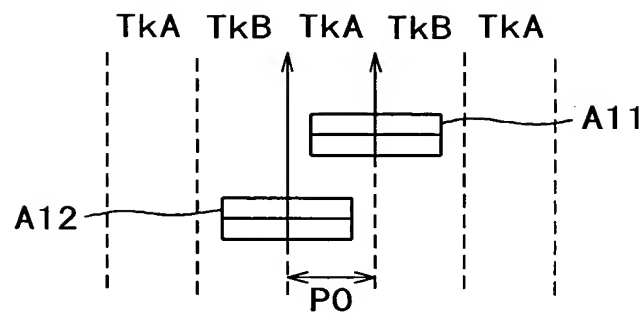
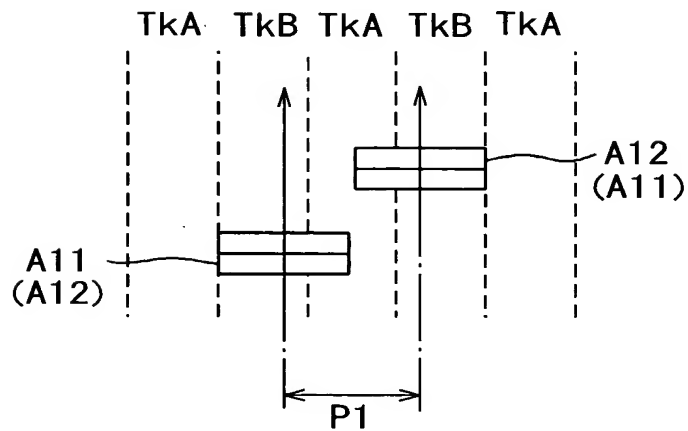


FIG. 16



WITH ERROR

FIG. 17

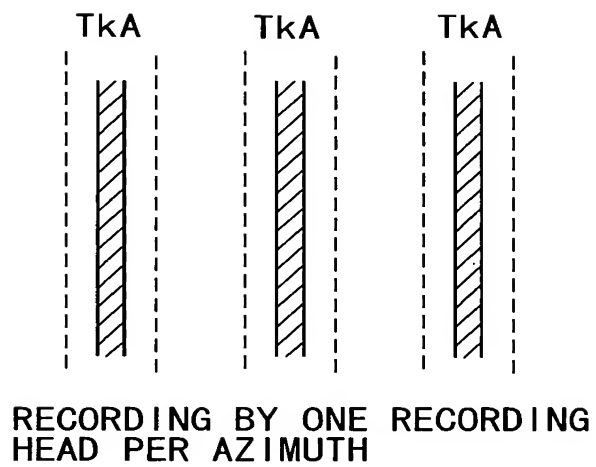


FIG. 18

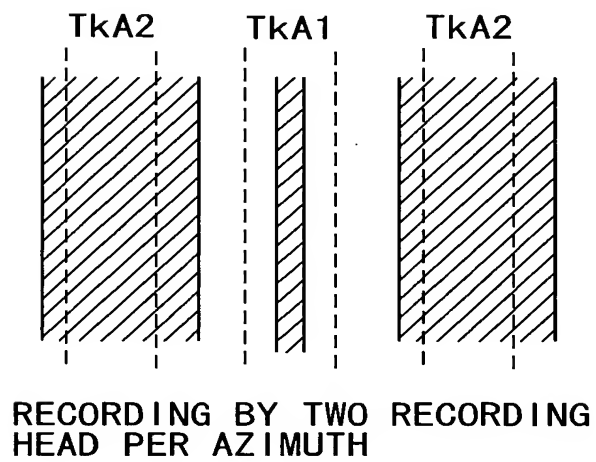


FIG. 19A

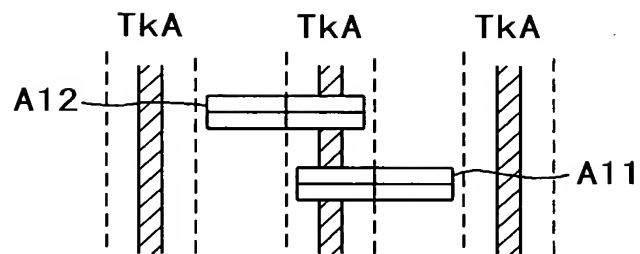
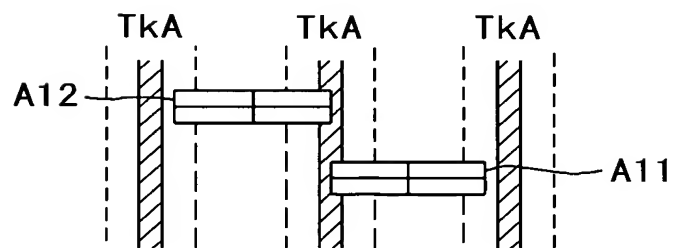


FIG. 19B



ONE-HEAD-PER-AZIMUTH RECORDING

FIG. 20A

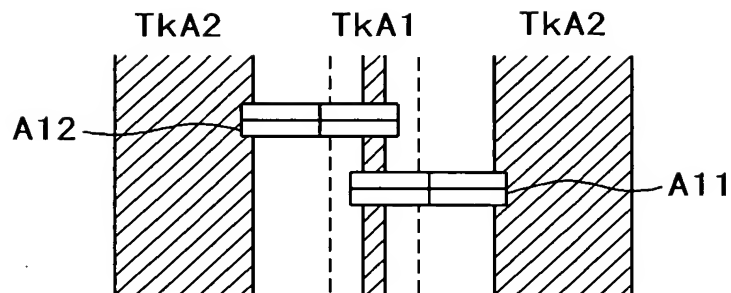
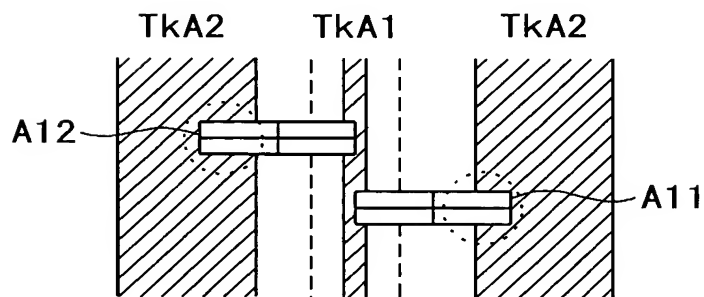


FIG. 20B



TWO-HEAD-PER-AZIMUTH RECORDING